

طراحی و مهندسی ساختار پلی سیترونیک قطعه $F(ab)_2$ آنتی‌بادی ضد گیرنده HER2 جهت بیان در میزبان باکتریایی

لیلا فرهمند: گروه پژوهشی ژنتیک سرطان، مرکز تحقیقات سرطان پستان، جهاددانشگاهی، تهران، ایران
 رضوان اسمعیلی: گروه پژوهشی ژنتیک سرطان، مرکز تحقیقات سرطان پستان، جهاددانشگاهی، تهران، ایران
 کیوان مجیدزاده اردبیلی*: گروه پژوهشی ژنتیک سرطان، مرکز تحقیقات سرطان پستان، جهاددانشگاهی - مرکز تحقیقات بیوتکنولوژی تسنیم، دانشکده پزشکی، دانشگاه علوم پزشکی آجا، تهران، ایران

چکیده

مقدمه: در سال‌های اخیر، آنتی‌بادی‌های منوکلونال نو ترکیب و مشتقات آنها به‌عنوان یکی از مهم‌ترین عوامل هدف درمانی در نظر گرفته شده‌اند. آنتی‌بادی‌های منوکلونال به صورت رایج در میزبان پستانداران تولید می‌شوند که هزینه‌های تولید در این میزبان بسیار بالاست و در نتیجه قیمت داروهای این گروه درمانی مهم بالا بوده که به مصرف کنندگان این داروها هزینه بالایی تحمیل می‌شود. به این منظور انتخاب یک سیستم تولیدی ارزان و راحت مثل میزبان‌های باکتریایی برای کاهش هزینه تولید این محصولات به عنوان یک سرفصل بزرگ برای موضوعات در حال رشد در سیستم‌های بیان مواد نو ترکیب به شمار می‌رود.
روش بررسی: در این مطالعه، یک ساختار پلی‌سیترونی از قطعه $F(ab)_2$ از آنتی HER2 که قادر به بیان درد در سیستم باکتریایی باشد طراحی شد.

همچنین در ساختار ناحیه لولای آنتی‌بادی تغییراتی داده شد تا این قطعه به شکل صحیح بیان شده و تابخورد و از تشکیل انواع مختلفی از ساختارهای هتروژنو غیرفعال جلوگیری شود. نهایتاً ساختار ژنی سنتز شده در حامل باکتریایی، بدون استفاده از روش‌های معمول کلون‌سازی و به صورت مستقیم وارد شد.

یافته‌ها: ساختار پلی‌سیترونیک قطعه $F(ab)_2$ آنتی‌بادی ضد گیرنده HER-2 به‌خوبی طراحی شد. تمامی اجزای لازم جهت رونویسی، ترجمه، تاخوردگی مناسب، شناسایی و خالص‌سازی در نظر گرفته شد. اصلاحات ناحیه لولا جهت به طور موفقیت‌آمیزی انجام گرفت. کاستژنی $F(ab)_2$ با پرایمرهای اختصاصی تکثیر شد. کاست بیان شونده حاصل با موفقیت در داخل حامل پلاسمیدی PET-32 EK/LIC و در جایگاه LIC اضافه شد.

نتیجه‌گیری: نتایج این مطالعه نشان می‌دهد که قطعه $F(ab)_2$ اصلاح شده با استفاده از روش کلون‌سازی غیروابسته به اتصال به طور موفقیت‌آمیزی وارد حامل بیانی E.coli شد. اگرچه مطالعات انجام شده در زمینه طراحی و تولید قطعه $F(ab)_2$ بسیار محدود است، نتایج این تحقیق نشان می‌دهد که میزبان‌های باکتریایی مسیرهای جایگزین مناسب و سیستم بیانی مقرون به صرفه از نظر اقتصادی برای تولید قطعات آنتی‌بادی هستند.

واژه‌های کلیدی: آنتی‌بادی نو ترکیب، کلون‌سازی، ساختار پلی‌سیترونی، میزبان باکتریایی، گیرنده HER-2.

مقدمه

یکی از مسائل مهم در زمینه تولید آنتی‌بادی‌ها، تشکیل ساختار فضایی صحیح و فعال است که در این زمینه یکی از مهم‌ترین موضوعات تشکیل باندهای دی سولفیدی صحیح است (۹).

در این مطالعه ما تلاش کردیم که یک قطعه ژنی پلی سیترونیک $f(ab)_2$ که از لحاظ ژنتیکی اصلاح شده است طراحی کرده و آن را با یک روش ساده و بسیار سریع در یک حامل باکتریایی کلون کنیم. LIC (Ligation Independent Cloning) که در حقیقت کلونینگ غیروابسته به اتصال است یک روش آسان و کارآمد برای کلونینگ است. برخلاف بسیاری از روش‌های کلونینگ این روش احتیاجی به مراحل خالص‌سازی، هضم آنزیم محدود الاثر ندارد (۱۰). ژن انتخاب شده وابسته به آنتی‌بادی انسانی anti EGFR₂ انسانی (رسپتور ۲ فاکتور رشد اپیدرمی) است. این مولکول به دومین خارج سلولی EGFR-2 (همچنین به عنوان HER₂ شناخته می‌شود) اتصال می‌یابد و از دایمر شدن آن با گیرنده‌های دیگر خانواده HER جلوگیری کرده و با توانایی بالا از تکثیر سلول‌های توموری انسانی جلوگیری می‌کند (۱).

مواد و روش‌ها

آنزیم‌های PCR و مواد لازم برای تکثیر ژن و الکتروفورز ژل از شرکت فرمنتاز (Fermentas) خریداری شدند. سوش‌های باکتریایی مورد نیاز برای کلون‌سازی و بیان پروتئین و پلاسمید از شرکت EMD Bioscience تهیه شد. مواد مورد نیاز کشت و ترکیبات لازم دیگر از شرکت سیگما (Sigma) خریداری شدند.

- طراحی ساختار کاست بیان‌کننده

در سیستم بیان‌کننده پلی سیترونی ژن‌های مربوط به زنجیره سبک و سنگین قطعه $f(ab)_2$ به صورت پشت سرهم روی کاست ژنی تحت کنترل یک پروموتور قرار گرفتند. جایگاه‌های اتصال به ریپوزوم و توالی‌های His. Tag و S. Tag بین زنجیره‌های سبک و سنگین و فرادست توالی زنجیره سنگین اضافه شدند که اجازه ترجمه مجزا و همزمان هر دو زنجیره را به سیستم می‌دهد. جایگاه LIC که توسط پرایمر سنس کد می‌شود طراحی شد تا محل اثر آنزیم انتروکیناز باشد تا این

امروزه هدف درمانی تأثیر بسزایی در درمان انواع مهمی از سرطان‌ها دارد و به عنوان یک روش ایمن و با عملکرد اختصاصی بالاتر و عوارض جانبی کمتر از روش‌های درمانی قبلی، دارای اعتبار بیشتری است (۱). پیشرفت روش‌های مولکولی و کشف ساختار و عملکرد آنتی‌بادی‌ها، امکان تولید نسل‌های جدید این ترکیبات که تحت عنوان آنتی‌بادی‌های مهندسی شده هستند را فراهم ساخته است. آنتی‌بادی‌های مهندسی شده شامل آنتی‌بادی‌های کایمیریک، انسانی شده و نو ترکیب انسانی هستند (۲).

تا امروز بیش از ۳۰ منوکلونال آنتی‌بادی شامل آنتی‌بادی‌های کامل و مشتقاتشان توسط انجمن غذا و داروی آمریکا برای مصارف مختلف به تصویب رسیده و تقریباً صدها کارآزمایی بالینی در این زمینه در حال انجام است (۳). علی‌رغم مزیت‌های این عوامل درمانی، هزینه درمان با این ترکیبات فوق‌العاده بالاست و بسیاری از بیماران قادر به تأمین هزینه‌های آن نیستند (۴).

آنتی‌بادی‌ها، گلیکوپروتئین‌هایی هستند که با یک الگوی گلیکوزیلاسیون آسان در سیستم میان پستانداران مثل سلول‌های تخمدان همستر چینی (CHO) تولید می‌شوند، مهم‌ترین سایت‌های بالقوه آنتی‌بادی برای گلیکوزیلاسیون در نواحی Fc آنها قرار گرفته است که عملکرد ایمنی وابسته به سلول مثل سیتوتوکسیتی وابسته به سلول Antibody-dependent cellular cytotoxicity (ADCC) را انجام می‌دهند (۵).

از آنجایی که عملکرد درمانی برخی از آنتی‌بادی‌ها وابسته به ADCC نیست بنابراین اثر آنها غیروابسته به ناحیه FC و در نتیجه محل قندار این قسمت است (۶). در این موارد ناحیه FC را به راحتی می‌توان از آنتی‌بادی حذف و یا از قندار کردن این قسمت صرف‌نظر کرد.

یکی از گروه‌های پرکاربرد آنتی‌بادی‌ها، قطعات آنتی‌بادی‌ها هستند که نسبت به آنتی‌بادی‌های کامل مزیت‌هایی بالقوه دارند. از جمله اینکه قطعات آنتی‌بادی قدرت اتصال به آنتی‌ژن با همان قدرت آنتی‌بادی کامل را دارد در حالی که قدرت نفوذ آنها به داخل تومور بیشتر و پتانسیل آنتی‌ژن‌سیته آنها کمتر است. امروزه قطعات آنتی‌بادی‌ها در زمینه تشخیص و درمان کاربردهای زیادی دارند (۸).

- کلون سازی قطعه 2 F(ab') در حامل بیانی

بر اساس دستورالعمل استاندارد LIC، بر روی محصول تخلیص شده PCR با استفاده از آنزیم T DNA4 پلیمرز و در حضور dATP بازوهای سازگار ایجاد شد، سپس قطعه تیمار شده به حامل PET-32 EK/LIC اضافه شد. کاست ژنی ساخته شده PET-32 -F(ab')₂ به داخل سلول‌های دارای صلاحیت Nova EK/LIC با استفاده از روش کلرید Blue GigasinglesTM منتقل یافت (۱۲) و باکتری‌های حاوی کاست ژنی در LB آگار که حاوی تترا سایکلین (۱۲/۵ μg/ml) و آمپی سیلین (۵۰ μg/ml) هستند کشت داده شد (۱).

- تأیید کلون‌های ساخته شده

حضور کاست پلی‌سیتروتیک در کلونی‌های کشت داده شده با سه روش بررسی و تأیید شد:

- ۱- کلونی PCR با پرایمرهای اختصاصی حامل برای بررسی حضور ژن کلون شده.
- ۲- تجزیه و تحلیل با آنزیم‌های محدودالایتر Nco I و XbaI انجام گرفت و انتظار می‌رفت که هضم آنزیمی سبب تولید ۳ قطعه با اندازه‌های ۳/۷ کیلوباز، ۱/۴ کیلو باز و ۷۰۰ جفت باز شود.
- ۳- ترتیب قرارگیری صحیح توالی‌ها با تعیین توالی دو طرفه مورد بررسی قرار گرفت.

یافته‌ها

- تشکیل اپرون پلی‌سیترونیک

شکل ۱ ساختار پلی‌سیترونیک قطعه 2 F(ab') آنتی‌بادی ضدگیرنده HER-2 را نشان می‌دهد. در این ساختار تمامی اجزای لازم جهت رونویسی، ترجمه، تاخوردگی مناسب، شناسایی و خالص سازی پروتئین هدف وجود دارد.

- طراحی ناحیه لولا

همان‌طور که قبلاً اشاره شد توانایی تشکیل انواع مختلفی از باندهای دی سولفیدی ممکن است سبب تشکیل شدن انواعی از قطعات ناخواسته از آنتی‌بادی‌ها می‌شود (۱۳). انواعی از قطعات ناخواسته از آنتی‌بادی‌ها می‌شود (۱۳). که به‌جای چند سیستمین ردیف اسید آمینه ای CAA را کد می‌کند (شکل ۱).

پروتئین‌ها پس از شکست توسط انتروکیناز هیچ اسید آمینه غیرطبیعی نداشته باشد.

- اصلاح ناحیه لولا

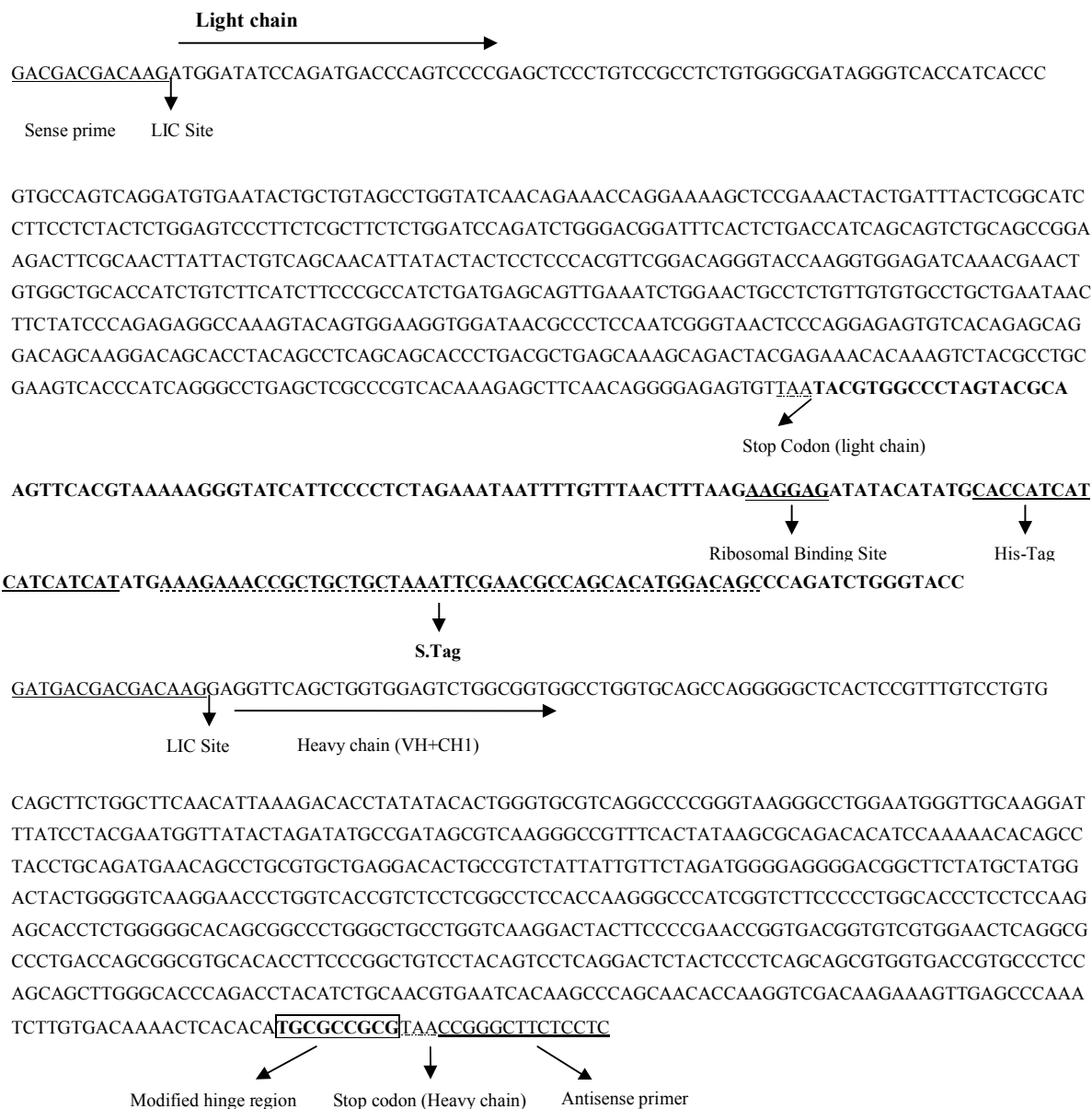
ناحیه CH₁ (دومین ۱ از ناحیه ثابت زنجیره سنگین) که ناحیه لولای آنتی‌بادی را تشکیل می‌دهد حاوی چند اسید آمینه سیستمین در انواع آنتی‌بادی است که به منظور جلوگیری از تولید انواع ساختارهای هتروژن این ناحیه به این گونه اصلاح شد که در ساختار ژن طراحی شده کدون دو اسیدآمینه از سه اسیدآمینه سیستمین ناحیه نامبرده تبدیل به کدون اسیدآمینه آلانین شدند.

- تکثیر ژن قطعه 2 f(ab') با کمک روش PCR

DNA ساختار طراحی شده که ناحیه 2 F(ab') از آنتی‌بادی انسانی شده ضدگیرنده HER-2 را کد می‌کند در شرکت (bio S&T) (آمریکا) ساخته شد. سپس ساختار طراحی شده توسط روش PCR و با استفاده از پرایمرهایی که برای کلون کردن محصول در حامل PET 32EK/ LIC طراحی شده بودند تکثیر شد. این پرایمرها در حقیقت بازوهای مورد نیاز واکنش LIC را به دوطرف سکانس مورد نظر اضافه می‌کنند. توالی‌های پرایمر به صورت زیر است:

پرایمر سنس: 5' GAC GAC GAC AAG ATG 3'
پرایمر آنتی سنس: 5' GA GGA GAA GCC CGG TAA 3'
پرایمرهای PCR با کمک نسخه 3.01 نرم‌افزار Gene Runner طراحی شده و توسط شرکت سیناژن (تهران ایران) ساخته شد.

واکنش PCR در حجم کلی ۵۰ میکرولیتر انجام شد که حاوی ۵ میکرولیتر از بافر واکنش X ۱۰، ۵ میکرولیتر از dNTP (۰.۲ میلی مولار)، ۲ میکرولیتر از دو پرایمر (۱۲/۵ میلی مول در میکرولیتر)، ۱/۲۵ واحد از آنزیم DNA پلیمرز pfu و ۲ میکرولیتر از DNA الگو (۵۰ نانوگرم در میکرولیتر) بود. تکثیر با پروفایل دمایی زیر انجام شد: شروع با دو دقیقه تقلیب در ۹۴ C⁰، در ادامه کار ۳۰ سیکل مداوم از ۹۴ C⁰ به مدت ۱ دقیقه (تقلیب)، 63 C⁰ به مدت ۴۵ ثانیه (اتصال) و ۷۲ C⁰ به مدت ۲ دقیقه (تکثیر) با یک زمان اضافی طویل شدن در ۷۲ C⁰ به مدت ۵ دقیقه انجام شد. بعد از تکثیر، ۱۰ میکرولیتر از نمونه‌ها الکتروفورز شدند تا از تکثیر قطعات PCR مطمئن شویم.



شکل ۱: ساختار کاست پلی سیترونیک برای کلون سازی و بیان قطعه ژن قطعه ۲ (F(ab')₂ آنتی بادی ضد HER-2 در میزبان باکتریایی

پرایمرهای سنس و آنتی سنس به انتهای ۵' و ۳' از ساختار هدف اضافه می شوند تا انتهای سازگار مربوط به حامل را بسازد. پرایمر سنس ۴ اسید آمینه انتهایی از شکاف انتروکیناز (EK) را کد می کند تا پروتئین هدف در فرم ذاتی بیان شود. جایگاه اتصال به ریبوزوم (RBS) برای کارایی بالای شروع ترجمه است. His.Tag و S.Tag برای جداسازی و تخلیص ساده پروتئین هدف استفاده شدند. کدون های توقف برای پایان دادن رونویسی، به انتهای سکانس زنجیره های سبک و سنگین اضافه شدند.

کولن‌سازی غیروابسته به اتصال ساختار قطعه $F(ab')_2$

کاست بیان شونده حاصل با موفقیت در داخل حامل پلاسمیدی PET-32 EK/LIC و در جایگاه LIC اضافه شد. هر کاست بیان‌کننده حاوی مواد زیر است.

۱- پروموتور T7 که در ساختار طراحی شده نسخه‌برداری زنجیره سبک و سنگین قطعه $F(ab')_2$ را کنترل می‌کند.

۲- جایگاه اتصال به ریبوزوم که قبل از ژن هر زنجیره قرار دارد. اولین جایگاه اتصال ریبوزوم متعلق به حامل باکتریایی بکار برده شده است و دومین جایگاه که بین جایگاه مربوط به قرارگیری دو زنجیره اضافه شد، زنجیره دوم را ترجمه می‌کند.

۳- دو کدون پایان که خاتمه‌دهنده فرایند ترجمه است و در انتهای سکانس مربوط به هر زنجیره قرار می‌گیرد.

۴- His.Tag و S.Tag که در فرودست ژن هر دو زنجیره قرار دارد.

تأیید کلونینگ

همان‌طور که در شکل ۳ مشخص است کلونی‌های بررسی شده توسط روش PCR، حاوی قطعه مورد نظر ما است.

همچنین شکل ۴ ساختار پلی‌سیترونیک قطعه $F(ab')_2$ که در جایگاه LIC کلون شده را نشان می‌دهد. و نیز شکل ۵ نتیجه هضم آنزیمی کاست ژنی PET-32 EK/

$F(ab')_2$ -Anti HER-2 LIC را نشان می‌دهد. اندازه

ساختار بیان شونده ۵/۹ کیلو باز بود. نتیجه هضم با

آنزیم‌های NcoI و XbaI سه قطعه با اندازه‌های جداگانه

۳/۷ کیلوباز و ۱/۴ کیلوباز و ۷۰۰ جفت باز بود که در

شکل ۵ نشان داده شده است. این امر کلون‌سازی

موفقیت‌آمیز کاست ژنی در حامل بیان‌کننده PET-32

EK/LIC را تأیید می‌کرد. تجزیه و تحلیل نهایی با

استفاده از تعیین توالی، موفقیت‌آمیز و جهت قرارگیری

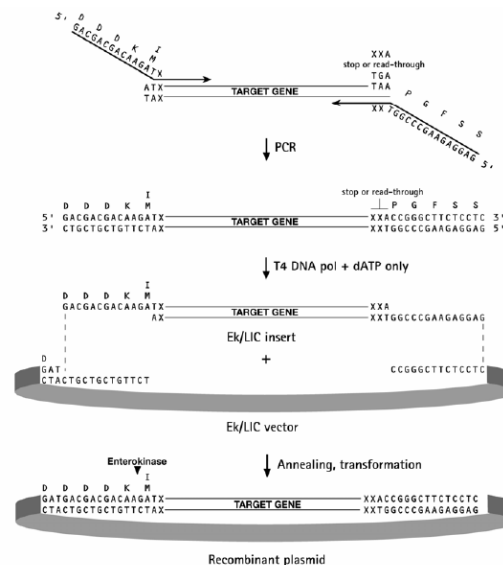
درست ساختار در فرودست جایگاه شکست توسط

انتروکیناز را نشان داد (اطلاعات نشان داده نشده است).

تکثیر ساختار $F(ab')_2$ Anti HER-2

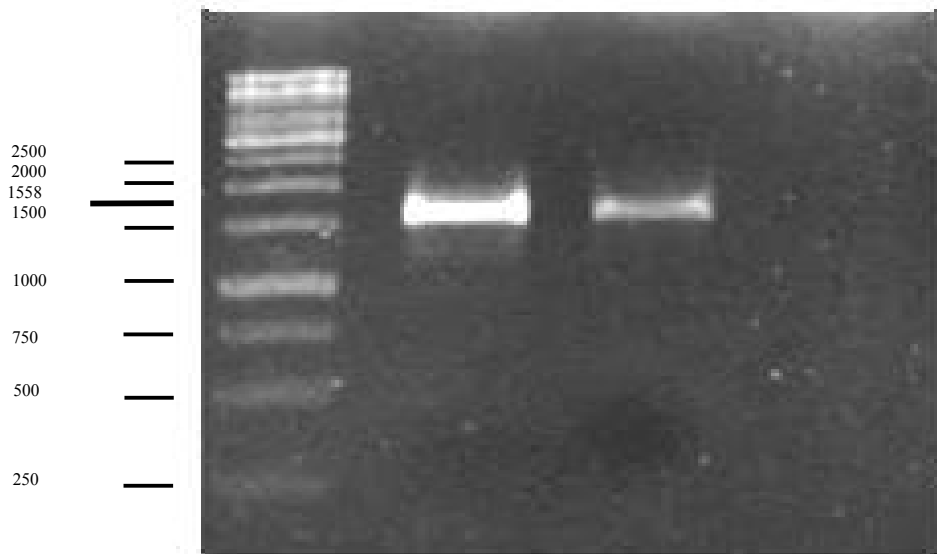
ساختار طبق توالی اسید آمینه‌های مربوط به آنتی‌بادی ضدگیرنده HER-2 با تصحیح کدون‌های مورد استفاده در باکتری E.Coli ساخته شد. (شماره‌های دسترسی بانک ژنی AY513485 و AY513484). شکل ۲ ساختارهای بازوهای که با روش PCR و با استفاده از پرایمرهای سنس و آنتی سنس به ساختار اضافه می‌شود را نشان می‌دهد.

کاست ژنی $F(ab')_2$ با پرایمرهای اختصاصی به طرز موفقیت‌آمیزی تکثیر شد. این حامل برای کلون‌سازی مستقیم محصولات PCR به راحتی آماده شد.



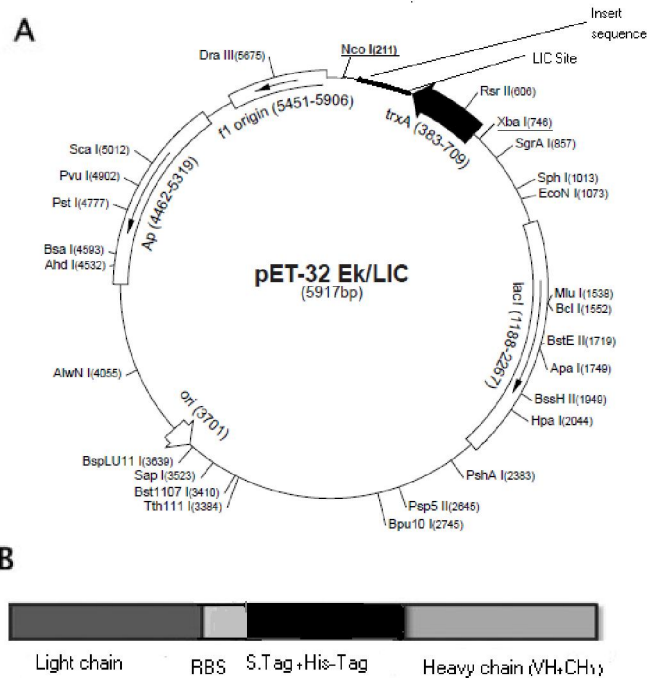
شکل ۲: شکل شماتیک از استراتژی LIC.

پس از تکثیر با پرایمرهای مربوط به حامل قسمت اضافه شده در PCR در مجاورت آنزیم T4 DNA پلیمرز نوترکیب و +dATP قرار می‌گیرد. در مرحله آخر سکانس آماده شده به حامل خطی وارد شده و کاست حلقوی تشکیل می‌شود.



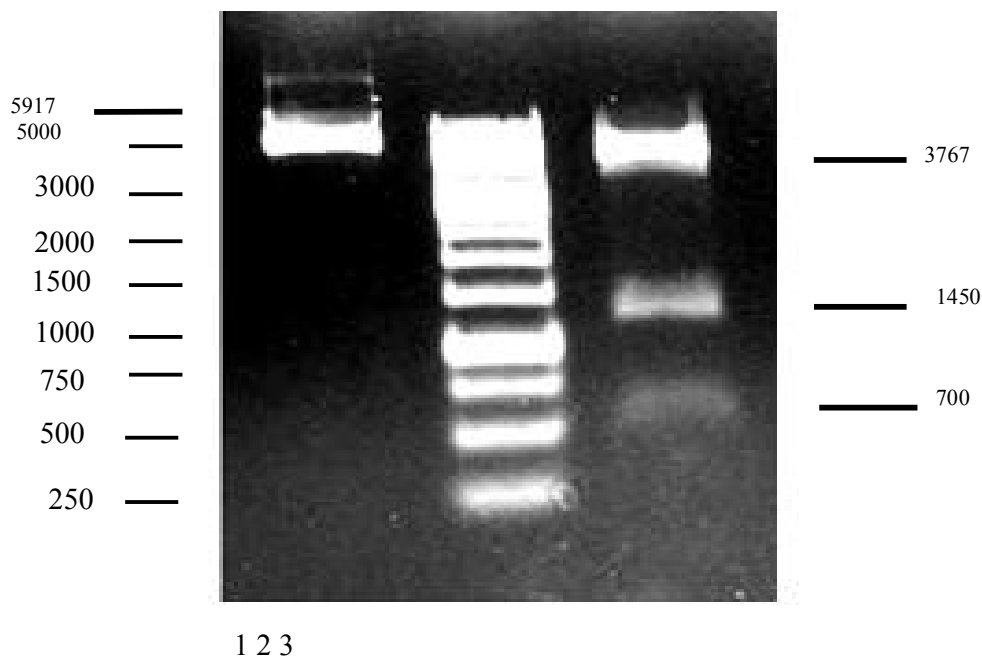
شکل ۳: محصولات مربوط به کلونی PCR، با استفاده از پرایمرهای اختصاصی حامل PET-32 EK/LIC.

محصولات روی ژل ۱/۵ درصد آگارز الکتروفورز شد. ستون ۱ نشانگر ۱ کیلوبازی را نشان می‌دهد. ستون ۲ و ۳ محصولات کلونی PCR و ستون ۴ کنترل منفی را نشان می‌دهد.



شکل ۴:

A: حامل بیانی PET-32 EK/LIC. (B): قطعه $F(ab')_2$ در ساختار پلی سیترونیک نشان داده شده است.



شکل ۵: محصول هضم محدودالایر قطعه $F(ab')_2$ - LIC/PET32-EK توسط آنزیم‌های NCOI و XbaI که سه قطعه را ایجاد می‌کند.

ستون ۱ کاست هضم نشده را نشان می‌دهد (۵/۹ کیلوباز). ستون ۲ نشانگر ۱ کیلوبازی را نشان می‌دهد. ستون ۳ قطعاتی را که توسط هضم آنزیمی NCOI و XbaI ایجاد شده‌اند را نشان می‌دهد (۳/۷ کیلوباز، ۱/۴ کیلوباز و ۷۰۰ جفت باز).

بحث

به دلیل مزیت‌های ارزشمند آنتی‌بادی‌ها و قطعات آنها به عنوان عوامل درمانی و تشخیصی خصوصاً در تشخیص و درمان سرطان، بسیاری از تحقیقات در این زمینه به منظور جایگزینی میزبان‌های پستاندار با سیستم‌های اقتصادی‌تر و پیشرفته‌تر انجام شده است (۱۴). اخیراً قطعات آنتی‌بادی‌ها به عنوان مولکول‌هایی با مزیت‌های بیشتر نسبت به آنتی‌بادی‌های کامل ظاهر شده‌اند.

Batra و همکارانش گزارش کردند که قطعات کوچک آنتی‌بادی مانند scFv، Fab و $F(ab')_2$ فارماکوکینتیک بهتری برای نفوذ به بافت در مقایسه با آنتی‌بادی کامل نشان می‌دهند. در ضمن این قطعات اختصاصیت کاملی برای اتصال فراهم می‌کند (۱۵). Allison و همکارانش گزارش کردند که قطعه $F(ab')_2$ تمایل بالاتری برای اتصال به سطح آنتی ژن‌ها دارد. همچنین نیمه عمر سرمی بالاتری در مقایسه با قطعات کوچک‌تر دارد (۱۶). برطبق

مطالعاتی که انجام گرفته است می‌توان این‌گونه بیان کرد که قطعه $F(ab')_2$ مزیت‌های زیادی بر آنتی‌بادی کامل دارد، همچنین بهتر از قطعات کوچک‌تر به عنوان عاملی برای شیمی‌درمانی و اهداف تشخیصی عمل می‌کند. بنابراین ما تلاش کردیم که ساختار ژنی Anti HER-2 $F(ab')_2$ را به منظور بیان در سیتوپلاسم میزبان باکتریایی بسازیم.

قطعه $F(ab')_2$ را می‌توان با جدا کردن ناحیه FC از آنتی‌بادی‌های IgG، با کمک شکست پروتئولیتیک (۱۷) و یا با استفاده از دومین‌های مشتق از آنتی‌بادی‌های نوترکیب و با بیان در میزبان مناسب تولید کرد (۱۸).

یکی از مهم‌ترین مباحث در رابطه با تولید آنتی‌بادی و برخی از قطعات آن مانند قطعه $F(ab')_2$ تشکیل ساختار صحیح و تاخوردگی مناسب پروتئین است. Jaenicke و همکارانش نشان دادند که ممکن است ترکیبی از باندهای دی سولفیدی متفاوت در پروتئین تشکیل شود. نوع شکل‌گیری باند دی‌سولفیدی بستگی به تعداد سیستم‌ها

قطعه Fab را در سیستم پلی‌سیترونیک گزارش کردند و قطعه $F(ab')_2$ آنتی‌بادی را با کمک تعاملات شیمیایی، از قطعات بیان شده تک‌طرفیتی تهیه کردند (۲۴).

Simmons L.C و همکارانش قطعه $f(ab')_2$ را با سیستم دی‌سیترونی بیان کردند. در این سیستم ژن‌های مربوط به زنجیره‌های سبک و سنگین آنتی‌بادی در یک پلاسمید و تحت کنترل پروموتورهای جداگانه قرار می‌گیرد (۲۵). همان‌طور که قبلاً اشاره شد ما تلاش کردیم تا ساختار پلی‌سیترونی $F(ab')_2$ را تولید کنیم. ساختن کاست بیان‌شونده پلی‌سیترونیک ساده‌تر است و بیان آن از سیستم‌های چند سیترونی بهتر کنترل می‌شود چرا که ژن‌هایی که در کاست‌های بیان‌شونده پلی-سیترونیک هستند به جای چندین پروموتور تحت کنترل یک پروموتور هستند.

نتیجه‌گیری

سیستم طراحی شده در این پروژه قادر است رونوشت‌هایی بزرگ‌تر از ۱۰ کیلوباز در طول را تولید کند چرا که بیان ژن بر پایه رونویسی با آنزیم RNA T₇ پلیمرز است (۱۱). همان‌طور که قبلاً اشاره شد کلون‌سازی ساختار $F(ab')_2$ Anti HER-2 به داخل حامل PET32 EK/ LIC با روش LIC، به راحتی و سریع انجام گرفت و از آنجایی که در این روش از آنزیم‌های محدودالثر استفاده نمی‌شود تکنولوژی LIC به توالی ژن هدف وابسته نیست و اجازه کلونینگ کارآمد و صحیح را به هر ژنی می‌دهد.

در پروتئین اصلی (قبل تا خوردن) دارد. همچنین مقدار ترکیبات با افزایش تعداد باندهای دی سولفیدی پیوسته افزایش می‌یابد و نهایتاً امکان هتروژنیستی را افزایش می‌دهد (۱۹).

از آنجایی که قطعه $F(ab')_2$ مربوط به آنتی‌بادی IgG-1 به طور طبیعی سه سیستئین در ناحیه لولا دارد ۱۵ راه مختلف برای اتصال این باندها وجود دارد. اگر باندها به طور تصادفی تشکیل شوند تنها یک پانزدهم از مولکول‌های پروتئین ایجاد شده شکل سه بعدی صحیح و در نتیجه فعال خواهند داشت. در این طرح، قطعه $F(ab')_2$ با برخی اصلاحات در ناحیه لولا به منظور جلوگیری از تشکیل باند دی سولفیدی داخل زنجیره‌ای غیر صحیح طراحی شد.

بیان آنتی‌بادی‌ها و قطعات آنها در میزبان‌های مختلف مانند آسپریلوس نایجر (۲۰) گیاهان (۲۱) و مخمرها (۲۲) در برخی از مقالات با مقادیر و خصوصیات متفاوت گزارش شده است. یکی از میزبان‌هایی که در سال‌های اخیر مورد توجه زیادی قرار گرفته است باکتری‌ها هستند. ویژگی‌های مهم این میزبان عبارت‌اند از تولید محصول با مقادیر بالا، دوره‌های کوتاه‌تر تولید، کاهش هزینه‌های فرایندهای فرودستی، عدم احتیاج به مراحل غیرفعال‌سازی ویروس و محیط کشت پیچیده.

بیشتر گزارشات در خصوص تولید آنتی‌بادی در میزبان باکتریایی مربوط به قطعات آنتی‌بادی است. Flamez و همکارانش کلون‌سازی زنجیره‌های سبک و سنگین مربوط به قطعه $F(ab')_2$ را در پلاسمیدهای جداگانه گزارش کردند (۲۳). Carter و همکارانش بیان

References

1. Fang L, Barekati Z, Zhang B, et al. Targeted therapy in breast cancer: what's new?. *Swiss Med Wkly* 2011; 141:13231.
2. Steinitz M. Three decades of human monoclonal antibodies: past, present and future developments. *Hum Antibodies* 2009; 18:1-10.
3. Beck A, Wurch T, Corvaia N. Editorial: therapeutic antibodies and derivatives: from the bench to the clinic. *Curr Pharm Biotechnol* 2008; 9: 421- 2.
4. Kelley B. Industrialization of mAb production technology: the bioprocessing industry at a crossroads. *MAbs* 2009; 1:443-52.
5. Natsume A, et al. Engineered antibodies of IgG1/IgG3 mixed isotype with enhanced cytotoxic activities. *Cancer Res* 2008; 68: 3863-72.
6. Franklin SE, Mayfield SP. Recent developments in the production of human

- therapeutic proteins in eukaryotic algae. *Expert Opin Biol Ther* 2005; 5: 225-35.
7. Colcher D, Pavlinkova G, Beresford G, Booth BJM, Choudhury A, Batra SK. Pharmacokinetics and biodistribution of genetically engineered antibodies. *Q J Nucl Med* 1998; 42: 225-41.
 8. Strohl WR. Optimization of Fc-mediated effector functions of monoclonal antibodies. *Curr Opin Biotechnol* 2009; 20: 685-91.
 9. Knappik A, Krebber C, Pluckthun A. The effect of folding catalysts on the in vivo folding process of different antibody fragments expressed in *Escherichia coli*. *Biotechnology (N Y)* 1993; 11:77-83.
 10. Aslanidis C, de Jong PJ. Ligation-independent cloning of PCR products (LIC-PCR). *Nucleic Acids Res* 1990; 18:6069-74.
 11. Carter P, Presta L, Gorman CM, et al. Humanization of an anti-p185HER2 antibody for human cancer therapy. *Proc Natl Acad Sci USA* 1992; 89:4285-9.
 12. Liu HY, Rashidbaigi A. Comparison of various competent cell preparation methods for high efficiency DNA transformation. *Biotechniques* 1990; 8(21): 24-5.
 13. Humphreys DP, Vetterlein OM, Chapman AP, et al. F(ab')₂ molecules made from *Escherichia coli* produced Fab' with hinge sequences conferring increased serum survival in an animal model. *J Immunol Methods* 1998; 217:1-10.
 14. Li J, Zhu Z. Research and development of next generation of antibody-based therapeutics. *Acta Pharmacol Sin* 2010; 31:1198-207.
 15. Batra SK, Jain M, Wittel UA, et al. Pharmacokinetics and biodistribution of genetically engineered antibodies. *Curr Opin Biotechnol* 2002; 13:603-8.
 16. Allison DE, Gourlay SG, Koren E, et al. Pharmacokinetics of rhuMAb CD18, a recombinant humanised monoclonal antibody fragment to CD18, in normal healthy human volunteers. *BioDrugs* 2002; 16:63-70.
 17. Andersen DC, Reilly DE. Production technologies for monoclonal antibodies and their fragments. *Curr Opin Biotechnol* 2004; 15:456-62.
 18. Verma R, Boleti E, George AJ. Antibody engineering: comparison of bacterial, yeast, insect and mammalian expression systems. *J Immunol Methods* 1998; 216:165-81.
 19. Jaenicke R, Rudolph R. Folding proteins. In: Creighton, T.E. _Ed., *Protein structure: A Practical Approach*, 1st ed. IRL Press Oxford 1989; 191.
 20. Ward M, Lin C, Victoria DC, et al. Characterization of humanized antibodies secreted by *Aspergillus niger*. *Appl Environ Microbiol* 2004; 70:2567-76.
 21. Zeitlin L, Olmsted SS, Moench TR, et al. A humanized monoclonal antibody produced in transgenic plants for immunoprotection of the vagina against genital herpes. *Nat Biotechnol* 1998; 16:1361-4.
 22. Burtet RT, Santos-Silva MA, Buss GA, et al. Production of a recombinant Fab in *Pichia pastoris* from a Monocistronic expression vector. *J Biochem* 2007; 142: 665-9.
 23. Flamez D, Remaut E, Fiers W. Production in *Escherichia coli* of a functional murine and murine: human chimeric F(ab')₂ fragment and mature antibody directed against human placental alkaline phosphatase. *J Biotechnol* 1995; 42:133-43.
 24. Carter P, Kelley RF, Rodrigues ML, et al. High level *Escherichia coli* expression and production of a bivalent humanized antibody fragment. *Biotechnology (NY)* 1992; 10:163-7.
 25. Simmons LC, Reilly D, Klimowski L, et al. Expression of full-length immunoglobulins in *Escherichia coli*: rapid and efficient production of aglycosylated antibodies. *J Immunol Methods* 2002; 263:133-47.